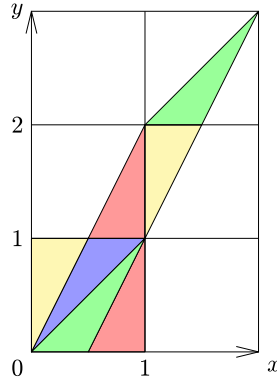


1. Bevezetés

Legyenek x_0 és y_0 a 0 és 1 közötti számok, valamint

$$(1) \quad \begin{aligned} x_1 &= x_0 + y_0 \pmod{1}, \\ y_1 &= x_0 + 2y_0 \pmod{1}, \end{aligned}$$

ahol a $\pmod{1}$ kifejezés törtrész vételét jelenti. Az 1. ábra szemlélteti, hogy mi történik az egységnégyzettel, ha minden pontjára végrehajtjuk ezt a leképezést: egy irányba megnyúlik, egy másik irányba összeszűkül, majd az így kapott paralelogrammát a $\pmod{1}$ művelet visszadarabolja az egységnégyzetbe.



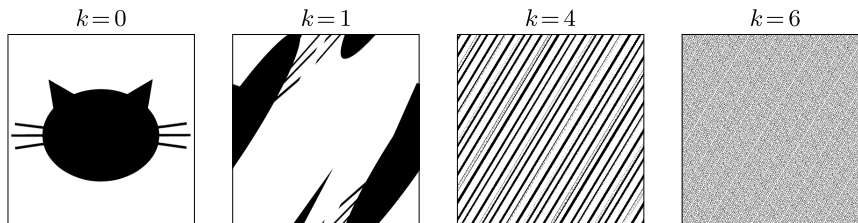
1. ábra. Az egységnégyzet képe az Arnold-féle macska-leképezés hatása alatt

Vlagyimir Arnold orosz matematikus után Arnold-féle macska-leképezésnek szokás ezt nevezni, mivel Arnold egy macska képével szemléltette a leképezés hatását. A leképezés érdekessége abból ered, hogy egyszerűsége ellenére erősen *kaotikus*. Ez alatt azt értjük, hogy ha ismételten végrehajtjuk a leképezést, az egységnégyzet pontjai gyorsan és alaposan megkeverednek. Ennek az az oka, hogy bármely pont egy irányban távolodik az eredeti „szomszédaitól” (amerre nyúlik a négyzet), egy másik irányban pedig közeledik hozzájuk (amerre szűkül a négyzet).

De hogyan is szimulálhatta Arnold ezt a leképezést? A következő eljárás a kézenfekvő: tekintsünk egy $N \times N$ pixel méretű képet, és alkalmazzuk az (1) leképezést minden pixelre. A pixelek koordinátáit legkényelmesebb egész számokban megadni, azaz a következő leképezést alkalmazzuk:

$$(2) \quad \begin{aligned} x_{k+1} &= x_k + y_k \pmod{N}, \\ y_{k+1} &= x_k + 2y_k \pmod{N}, \quad k = 0, 1, 2, \dots, \end{aligned}$$

ahol x_k és y_k a 0 és $N - 1$ közötti számok. Mivel a \pmod{N} kifejezés az N -nel való osztás maradékát veszi, x_{k+1} és y_{k+1} szintén 0 és $N - 1$ közé esik.

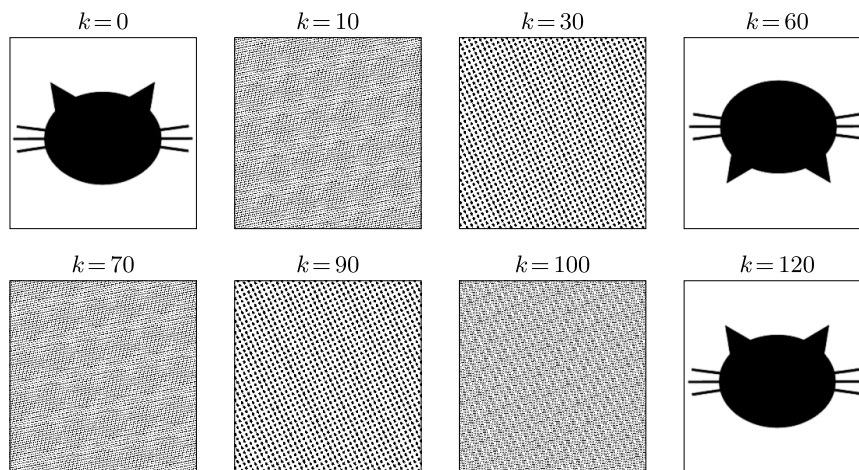


2. ábra. Macskából káoszba (k = iterációk száma, $N = 400$)

Kezdetben úgy tűnik, hogy a (2) leképezés teljesen összekeveri a képünk pontjait, ahogyan a folytonos változata is. Viszont némi számítógépes kísérletezés után meglepő módon azt tapasztaljuk, hogy kezdeti képünk előbb-utóbb újra megjelenik. De ha egy kicsit jobban belegondolunk, akkor láthatjuk, hogy maga a visszatérés ténye még nem igazán meglepő.

1. feladat. Tegyük fel, hogy a kép minden pixele csak fekete vagy fehér lehet. Mutassuk meg, hogy 2^{N^2} iteráció alatt legalább egy visszatérést tapasztalunk.

Ami viszont meglepő, hogy közel sincs szükség ilyen sok iterációra. A 3. ábrán egy olyan esetet láthatunk, ahol kevesebb, mint $N/2$ iterációra van szükség a visszatéréshez. A következőkben áttekintünk pár egyszerűbb állítást a visszatérési időről.



3. ábra. Visszatér a macska ($k =$ iterációk száma, $N = 241$)

2. Visszatérési idő

Visszatérési időnek fogjuk nevezni azt az iterációs számot, amelyre *először* visszatér az eredeti képünk. Pontosabban, a visszatérési idő az a legkisebb m_N szám, amelyre

$$\begin{aligned}x_{m_N} &= x_0, \\y_{m_N} &= y_0\end{aligned}$$

teljesül az egységnyezet valamennyi (x_0, y_0) pontjára.

Fogalmazzuk át ezt a definíciót.

2. feladat. Lássuk be, hogy

$$(3) \quad \begin{aligned}x_k &= u_{2k-1}x_0 + u_{2k}y_0 \pmod N, \\y_k &= u_{2k}x_0 + u_{2k+1}y_0 \pmod N,\end{aligned}$$

ahol u_i az i -edik Fibonacci szám (azaz $u_0 = 0$, $u_1 = 1$, továbbá $u_{i+1} = u_i + u_{i-1}$, $i = 0, 1, \dots$).

Tehát a legkisebb olyan k számot keressük, amelyre

$$\begin{aligned}u_{2k-1} &\equiv 1 \pmod N, \\u_{2k} &\equiv 0 \pmod N\end{aligned}$$

teljesül (azaz u_{2k-1} N -nel való osztás után 1 maradékot ad, u_{2k} pedig nullát). Ez a két feltétel elég, hiszen ezekből $u_{2k-1} \equiv 1 \pmod N$ következik. Úgy is mondhatjuk, hogy a visszatérési idő egyenlő a Fibonacci számok modulo N periódusának felével. Ezt a periódust szokás Pisano-periódusnak is nevezni. Sajnos zárt formula nem ismert rá, de az idevágó ismereteink jó összefoglalását adja D. D. Wall cikke [9].

A pontos képlet hiányának ellenére léteznek eredmények, amelyek felső korlátot adnak a visszatérési időre. Ezek az állítások egyszerű számelméleti eszközökkel, ám helyenként rendkívül aprólékos munkával bizonyíthatók. Az alábbi állítást Freeman J. Dyson és Harold Falk bizonyította:

1. tétel (Dyson–Falk [5]). *Legyen $N > 2$. Ekkor a visszatérési időre fennáll az*

$$m_N \leq \frac{N^2}{2}$$

felső korlát.

Mielőtt rátérnénk a bizonyításra, megjegyezzük, hogy Freeman Dyson neves elméleti fizikus és matematikus, aki leginkább a kvantumelektrodinamika elméletének kidolgozásában vállalt szerepe miatt híres. Jelentőségét a matematikában a róla elnevezett Dyson-transzformált bizonyítja, amely az additív számelmélet egyik alapvető eszköze.

Lássuk most Dyson és Falk bizonyítását, amely a N. Vorobiev könyvében [8] leírt módszert követi.

Bizonyítás. Legyen Φ_k az u_k Fibonacci-szám N -nel való osztási maradéka. Tekintsük a

$$(4) \quad \langle \Phi_0, \Phi_1 \rangle, \langle \Phi_1, \Phi_2 \rangle, \dots, \langle \Phi_k, \Phi_{k+1} \rangle, \dots$$

rendezett párokat. Vegyük észre, hogy $\langle \Phi_0, \Phi_1 \rangle = \langle 0, 1 \rangle$. Ebben a sorozatban legfeljebb N^2 különböző elem lehet, tehát bármely $N^2 + 1$ elem között szükségszerűen lesz legalább két megegyező. Most bebizonyítunk egy lemmát, hogy aztán tovább haladhassunk a tétel bizonyításával.

1. lemma. *Az első ismétlődő páros a $\langle 0, 1 \rangle$.*

Bizonyítás. Indirekten fogunk érvelni. Tegyük fel, hogy az első ismétlődő pár $\langle \Phi_k, \Phi_{k+1} \rangle$ valamely $k > 0$ számra. Tekintsünk ekkor egy olyan $\langle \Phi_r, \Phi_{r+1} \rangle$, $r > k$ párost, amely megegyezik vele, azaz $\Phi_k = \Phi_r$ és $\Phi_{k+1} = \Phi_{r+1}$. Ekkor a Fibonacci-számok definíciója alapján

$$\begin{aligned}\Phi_{r-1} &\equiv \Phi_{r+1} - \Phi_r \pmod{N}, \\ \Phi_{k-1} &\equiv \Phi_{k+1} - \Phi_k \pmod{N},\end{aligned}$$

azaz $\Phi_{r-1} = \Phi_{k-1}$. Tehát

$$\langle \Phi_{k-1}, \Phi_k \rangle = \langle \Phi_{r-1}, \Phi_r \rangle,$$

azaz $\langle \Phi_{k-1}, \Phi_k \rangle$ is ismétlődik, és korábban van a (4) sorozatban, mint $\langle \Phi_k, \Phi_{k+1} \rangle$ – ellentmondásra jutottunk. Tehát $k = 0$, és így $\langle \Phi_k, \Phi_{k+1} \rangle = \langle \Phi_0, \Phi_1 \rangle = \langle 0, 1 \rangle$. \square

3. feladat. Lássuk be az előző lemma segítségével a következőt: tetszőleges N számra igaz, hogy az (u_0 utáni) első N^2 Fibonacci-szám között lesz legalább egy N -nel osztható.

2. lemma. *Legyen $N > 2$. Ha $u_k \equiv 0 \pmod{N}$ és $u_{k+1} \equiv 1 \pmod{N}$, akkor k páros.*

Bizonyítás. Vezessük be a

$$D_k = u_k u_{k+2} - u_{k+1}^2$$

mennyiséget. $D_0 = -1$, valamint $D_{k+1} = -D_k$, hiszen

$$\begin{aligned}u_{k+1} u_{k+3} - u_{k+2}^2 &= (u_{k+2} - u_k)(u_{k+1} + u_{k+2}) - u_{k+2}^2 = \\ &= u_{k+2} u_{k+1} - u_k u_{k+1} - u_k u_{k+2} = \\ &= -u_k u_{k+2} + (u_{k+2} - u_k) u_{k+1} = \\ &= -u_k u_{k+2} + u_{k+1}^2.\end{aligned}$$

Tehát $D_k = -1$, ha k páros, és $D_k = 1$, ha páratlan. Amennyiben $u_k \equiv 0 \pmod{N}$ és $u_{k+1} \equiv 1 \pmod{N}$, akkor $D_k \equiv -1 \pmod{N}$ – így k páros. \square

Innen már könnyű a tétel bizonyítása: tekintsük a Φ_0, Φ_1, \dots sorozatot. A $\Phi_0, \Phi_1, \dots, \Phi_{N^2+1}$ kezdőszeletben ismétlődni fog $0, 1$ – legyen az első ismétlődés Φ_t, Φ_{t+1} . A 2. lemma alapján t páros, a visszatérési idő definíciója szerint pedig $2m_N = t$. Azaz $m_N \leq N^2/2$. \square

Egy általánosabb, de kevésbé explicit képletet ad a visszatérési időre Gregory Gaspari:

2. tétel (Gaspari [6]). *Legyen N prímtényezőss felbontása $N = p_1^{\alpha_1} \dots p_k^{\alpha_k}$, ahol p_j prím, és $\alpha_j \in \mathbb{N}$ minden $j = 1, \dots, k$ esetében. Ekkor*

$$m_N = \text{LKKT}\{m_{p_1^{\alpha_1}}, \dots, m_{p_k^{\alpha_k}}\},$$

ahol LKKT a legkisebb közös többszöröst jelöli.

Megemlítjük, hogy a tétel Fibonacci-számok periódusára vonatkozó megfogalmazása már szerepelt D. D. Wall jóval korábbi cikkében [9]. A Gaspari által adott bizonyítás a következő.

Bizonyítás. Kezdjük a bizonyítást egy észrevétellel: azt állítjuk, hogy ha K osztja N -et, akkor m_K osztja m_N -et. Mivel

$$\begin{aligned}u_{2m_N-1} &\equiv 1 \pmod{N}, \\ u_{2m_N} &\equiv 0 \pmod{N},\end{aligned}$$

és K osztja N -et, azért $u_{2m_N-1} - 1$ a K -val osztva is 1 maradékot ad, valamint u_{2m_N} a K -val is osztható. Azaz

$$(5) \quad \begin{aligned}u_{2m_N-1} &\equiv 1 \pmod{K}, \\ u_{2m_N} &\equiv 0 \pmod{K}.\end{aligned}$$

Mivel m_K a legkisebb szám, amire az (5) kongruencia-rendszer teljesül, m_K kisebb (vagy egyenlő) mint m_N . Tegyük fel, hogy m_N az m_K -val osztva nemnulla maradékot ad, azaz $m_N = qm_K + r$, ahol $0 < r < m_K$, és q egész. Ekkor qm_K iteráció alatt visszatér a képünk q -szor, és mivel m_N iteráció alatt visszatér, r iteráció alatt is vissza kell térnie. De $r < m_K$, és m_K volt a legkisebb idő, ami alatt visszatér a kép, tehát ellentmondásra jutottunk. Azaz $r = 0$, és ezzel beláttuk az észrevételt.

Térjünk rá a tétel bizonyítására. Tetszőleges $j \in \{1, \dots, k\}$ esetében $p_j^{\alpha_j}$ osztja N -et, tehát az előző észrevételünk miatt $m_{p_j^{\alpha_j}}$ osztja m_N -et. Ebből következik, hogy m_N közös többszöröse az $m_{p_j^{\alpha_j}}$, $j \in \{1, \dots, k\}$ számoknak. Legyen M egy közös többszöröse a $m_{p_j^{\alpha_j}}$, $j \in \{1, \dots, k\}$ számoknak. Ekkor

$$\begin{aligned}u_{2M-1} &\equiv 1 \pmod{p_j^{\alpha_j}}, \\ u_{2M} &\equiv 0 \pmod{p_j^{\alpha_j}}.\end{aligned}$$

Mivel a $p_j^{\alpha_j}$ számok különböző prímek hatványaiként páronként relatív prímek,

$$\begin{aligned} u_{2M-1} &\equiv 1 \pmod{p_1^{\alpha_1} \dots p_k^{\alpha_k} = N}, \\ u_{2M} &\equiv 0 \pmod{p_1^{\alpha_1} \dots p_k^{\alpha_k} = N}. \end{aligned}$$

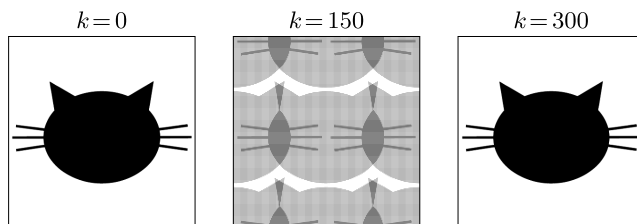
Viszont ez azt jelenti, hogy m_N osztja M -et. Mivel m_N a legkisebb egész szám, amire a fenti kongruencia teljesül, m_N a *legkisebb* közös többszöröse az $m_{p_j^{\alpha_j}}$ számoknak. \square

Tehát elég prímhatalványokra tudni a visszatérési időt, ebből már tetszőleges számra kiszámítható. De ez még így sem egyszerű feladat. Gaspari cikkének a függelékében $m = 1, \dots, 195$ periódusokra kigyűjtötte az összes p prímet, amelyre $m_p = m$ – ez nyújthat némi segítséget.

4. feladat. Lássuk be, hogy

a) $m_{241} = 120$ (3. ábra),

b) $m_{400} = 300$ (4. ábra).



4. ábra. $N = 400$, $m_N = 300$

4*. feladat. Tegyük fel, hogy m_N páros. Milyen N -ek esetében fordul elő hogy $m_N/2$ iteráció után fejtetőn jelenik meg a macska, ahogyan a 3. ábrán is látható? A 4. ábra mutatja, hogy nem mindig ez a helyzet. Itt úgynevezett szellemképek jelennek meg, a magyarázatért lásd a [3] hivatkozást.

3. Alkalmazások

Bár első ránézésre Arnold macska-leképezése csak egy matematikai játéknak tűnik, a kaotikusságát kihasználva praktikus alkalmazásai is lehetnek. A következő gyűjtés a [7] hivatkozásra támaszkodik.

A legnyilvánvalóbb egy kép vagy szöveg titkosítása: a kép pixeleire, vagy a szöveg $N \times N$ -es blokkba rendezett karaktereire alkalmazzuk a macska-leképezés egy megfelelő hatványát. Így alaposan megkeverednek a képpontok (vagy a betűk), avatatlan szemlélő nem képes az eredeti üzenetet visszafejteni. Tovább bonyolítható a helyzet, ha a titkosító egy általánosabb macska-leképezést használ, például az

$$(6) \quad \begin{aligned} x_{k+1} &= x_k + ay_k \pmod{N}, \\ y_{k+1} &= ax_k + (a^2 + 1)y_k \pmod{N}, \quad k = 0, 1, 2, \dots \end{aligned}$$

vagy az

$$(7) \quad \begin{aligned} x_{k+1} &= x_k + ay_k \pmod{N}, \\ y_{k+1} &= bx_k + (ab + 1)y_k \pmod{N}, \quad k = 0, 1, 2, \dots \end{aligned}$$

iterációt. Így az eredeti üzenet csakis az a, b egész számok ismeretében fejtethető vissza. Ezeknek a macska-leképezéseknek a viselkedése teljesen hasonló Arnold macskájához. A visszatérési időkről J. Bao és Q. Yang ír a [2] cikkben.

Egy kicsit izgalmasabb alkalmazás a szteganográfiához köthető. A szteganográfia olyan titkos üzenetek létrehozásának tudománya, amelyek létezéséről a feladón kívül csak a címzett tud – szemben a kriptográfiával, ahol az üzenet léte nem rejtély, csak a tartalma. A két módszer együttes alkalmazása természetesen a leghatékonyabb. Tegyük fel, hogy van egy képünk, amiről később majd meg akarjuk állapítani, hogy valaki manipulálta-e. A következő a módszerünk: alkalmazzuk a képünkre a macska-leképezés k darab iterációját, majd helyezzünk rá egy kis vízjelet. Ezután $m_N - k$ iterációval állítsuk vissza az eredeti képet, amelyen a vízjel egy hétköznapi szemlélőnek láthatatlan, hiszen a pixelei alaposan szétszóródtak. Ha később meg akarjuk állapítani, hogy valaki módosította-e a képet, elég a macska-leképezés k iterációját alkalmazni rá: ha a kép nem lett manipulálva, akkor bár a kép káoszba fullad, a vízjel eredeti állapotában megjelenik a sarokban. A részletek a [4] cikkben találhatóak.

Hivatkozások

[1] V.I. Arnold and A. Avez, Ergodic problems of classical mechanics, W.A. Benjamin, New York (1968).

- [2] Jianghong Bao and Qigui Yang, Period of the discrete arnold cat map and general cat map, *Nonlinear Dynamics*, **70(2)** (2012), 1365–1375.
- [3] Ehrhard Behrends, The ghosts of the cat, *Ergodic Theory and Dynamical Systems*, **18(2)** (1998), 321–330.
- [4] Young-Long Chen, Her-Terng Yau, and Guo-Jheng Yang, A maximum entropy-based chaotic time-variant fragile watermarking scheme for image tampering detection, *Entropy*, **15(8)** (2013), 3170–3185.
- [5] Freeman J. Dyson and Harold Falk, Period of a discrete cat mapping, *The American Mathematical Monthly*, **99(7)** (1992), 603–614.
- [6] Gregory Gaspari, The Arnold cat map on prime lattices, *Physica D: Nonlinear Phenomena*, **73(4)** (1994), 352–372.
- [7] Fredrik Svanström, Properties of a generalized Arnold’s discrete cat map (2014).
- [8] Nicolai N. Vorobiev, *Fibonacci numbers*, Birkhäuser (2012).
- [9] D.D. Wall, Fibonacci series modulo m , *The American Mathematical Monthly*, **67(6)** (1960), 525–532.